

پولیپ های بزرگ با خود از ناطیسی هسته H¹

صدیقه صادقی^۱(M.L.D)، آیدا ایروانی^۱(M.Sc)، محمد ارجمند^۱(Ph.D)، فریده وهابی^۲(M.D)، سید محمود اسحاق حسینی^۳(M.D)، اکبر عقلایی^۴(B.Sc)، فاطمه میرخانی^۱(M.Sc)، زهراء زمانی^{۱*}(Ph.D)

- بخش بیوشیمی، انستیتو پاستور ایران ، تهران، ایران
 - بخش بیوتکنولوژی، انستیتو پاستور ایران ، تهران، ایران
 - بخش اندوسکوبی، بیمارستان امیر اعلم تهران، تهران، ایران

حکیمہ

روش‌ها: فتن رضایت از ۴۰ درجه برای جام کولونوسکوپی، ون گرفته د. این مدت ۷۲ ساعت دارای ژیم خذائی مایدات قیق پس از جمع آن نمونه نشان در لوله‌ای افراد سالم و بیمار، جهت سنجی HNMR باشد. این شناسه Spin-echo CPMG، این اشغال فرستاده شد. این اجزا اصلی Principle Component Analysis (PCA) نماده از نرم‌افزار

ProMetab - ابولیت حمایت مهندسی با توجه به جابه آن شیمیایی (Chemical Shift) آن را داشد. افته ها: غاده از رم ازار ProMetab ۱۶۲۴ با استفاده از نرم افزار پایگاه Human Metabolome Data Base به آمد و به ابولیت با این روش با استفاده از نرم افزار پایگاه املاهاتی Metaboanalyst Data Base این روش گردید. خلور به آن دن چرخه آن ریتی از نرم افزار پایگاه املاهاتی tRNA مینو اسیل ستدین، سیانو آین در ایجاد بجه ری: ابولیت سه درخواست امینو اسیل آین در ایجاد این پایپ ده حائز اهمیت استند.

ازهار، کلیدی: سرطان کولودکتال، اندام، کوموتريکس

مقدمة

می‌دهد. لذا برای پیشگیری باید آن را با جراحی برداشت. در حال حاضر در برخی از موارد پولیپ، زن‌های عامل سرطان شناسایی شده است. بنابراین، افراد دارای پولیپ را قبل از بروز سرطان از نظر حامل بودن زن سرطان، می‌توان مورد بررسی قرار داد.

پولیپ روده بزرگ ناشی از رشد توده‌های خوش‌خیم در جدار روده است که شامل دو نوع هیبری‌پلاستیک و آدنومایی می‌باشد. معمولاً شیوع آن بعد از سن ۵۰ سالگی است. نوع آدنومایی، پولیپ، شانس، ابتلا به سرطان روده بزرگ را افزایش

شیمیایی به دست آمده، اطلاعات مفیدی استخراج می‌شود و با توجه به این اطلاعات، می‌توان آزمایش‌های مورد نظر با بازدھی بهتر را طراحی کرد [٧].

تکنون دانشمندان تحقیقات وسیعی را برای تشخیص زودهنگام سرطان‌ها از جمله سرطان کولورکتال با استفاده از علم متابوتوومیکس انجام داده‌اند [٩,٨].

در این تحقیق سعی بر آن است که طیف حاصل از NMR نمونه‌های پلاسمای بیماران پولیپ با افراد سالم مقایسه گردد تا متabolیت‌های تغییریافته و چرخه‌های متabolیتی تاثیرگذار، جهت تشخیص زودهنگام این بیماری به دست آید.

مواد و روش‌ها

نحوه‌گیری از ۱۰۰ نفری که جهت کولونوسکوپی به بیمارستان امیراعلم مراجعه کرده بودند، افرادی با تشخیص سرطان، کولیت اولسروز و هموروئید از مطالعه حذف گردیدند. با توجه به این‌که مطالعه ما از نوع موردي شاهدی است، تعداد ۲۰ نفر از افراد سالم و ۲۰ نفر افراد مبتلا به پولیپ، جهت مطالعه انتخاب شدند. این افراد قبل از کولونوسکوپی به مدت ۷۲ ساعت دارای رژیم غذائی با مایعات رقيق بودند.

تمامی ۴۰ فرد مورد مطالعه، رضایت‌نامه و پرسشنامه‌ای مبنی بر مشخصات فردی، تاریخچه بیماری، رژیم غذائی و سایر موارد را پر نمودند. از افراد دو گروه، ۴ میلی‌لیتر نمونه خون گرفته شد و به لوله‌های حاوی ۲۰ میکرولیتر هپارین (ماده ضد انعقاد) اضافه گردید. نمونه‌ها به مدت ۱۵ دقیقه با دور ۳۰۰۰ rpm سانتریفیوژ شدند و پلاسمای آن‌ها تا انجام NMR در فریزر -۸۰ درج شدند.

آماده‌انم فونه‌ها طبق روش‌های انجام شده قبلي [١٠] ۶۰۰ میکرولیتر پلاسمای افراد با ۷۰ میکرولیتر (Deuterium) D₂O٪۱۰ oxide (TMSP) به عنوان رفرانس داخلی اضافه گردید. نمونه‌ها برای گرفتن طیف ¹HNMR با روش CPMG spin echo، به دانشگاه صنعتی شریف فرستاده شد.

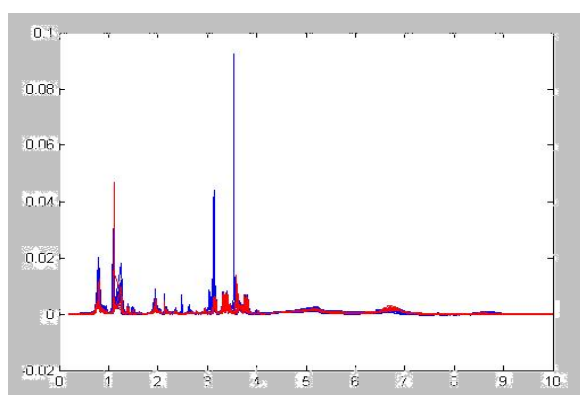
بیش‌تر پولیپ‌های روده بزرگ به منظور یافتن علل خونریزی از مقعد حین اجابت مزاج یا درد شکم دیده می‌شوند که پژشک با توجه به نوع پولیپ، معاینه‌های دوره‌ای یا برداشت پولیپ را توصیه می‌کند.

آزمایش‌هایی که وضعیت بافت روده بزرگ و انتهای آن (رکنوم) را بررسی می‌کنند تا بیماری‌های کولورکتال را تشخیص دهنند شامل: تست خون نهفته در مدفوع، معاینه مقعد و تنقیه باریم است. هم‌چنین با روش‌های تهاجمی، نظیر سیگموئیدوسکوپی و کولونوسکوپی و نمونه‌برداری (بیوپسی) می‌توان به تشخیص نهایی رسید [٢,١].

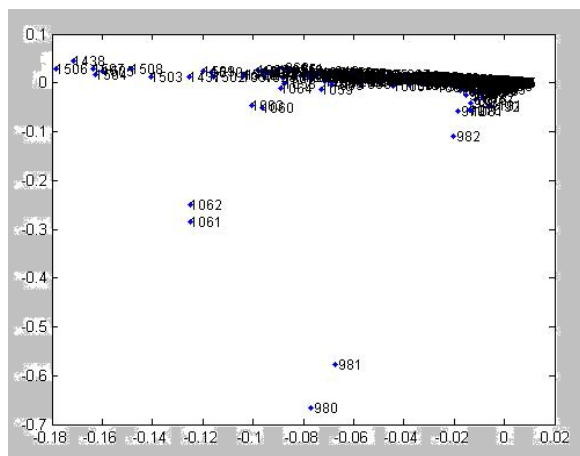
اخیراً محققین با روشی ساده و غیر تهاجمی طیف سنجی ¹HNMR بر روی نمونه پلاسما و هم‌چنین با استفاده از علم کمومتریکس که نتایج حاصل از طیف NMR ¹HNMR را آنالیز می‌نماید، بیماری‌های کولورکتال را بررسی نموده‌اند [٣].

طیف سنجی رزونانس مغناطیسی هسته، یکی از تواناترین وسایل در دسترس شیمیدان‌ها و زیست‌شناسان، برای تعیین ساختار گونه‌های آلی، معدنی و غیره است [٤].

با آنالیز اسپکتروسکوپی ¹HNMR مایعات زیستی، سلول‌ها و بافت‌ها، پروفایل‌هایی با طیف وسیعی از متabolیت‌های با جرم ملکولی پایین حاصل می‌شود. به طور مثال، هر مایع زیستی دارای یک ترکیب بیوشیمیایی منحصر به فرد می‌باشد که این ترکیب بیوشیمیایی در نتیجه پاسخ به تحریکات فیزیولوژیکی یا پاتوفیزیولوژیکی تغییر می‌کند. هم‌چنین هر متabolیت یک یا چند سیگنال H¹ تولید می‌کند. به طوری که هر سیگنال H¹ متعلق به محیط الکتروشیمیایی خاص اطراف پروتون می‌باشد. این اطلاعات مربوط به غلظت، اندازه و ساختمان اجزای مولکولی مایع زیستی در طیف گنجانده شده است. بنابراین طیف حاصل از NMR اثر انگشت متabolیکی منحصر به فردی را برای هر مایع زیستی پیچیده در اختیار می‌گذارد. این تکنیک ارزش زیادی در تشخیص نتایج عمل کرد بیماری، سمیت یا تغییرات جزئی ژنتیکی دارد [٦,٥]. علم کمومتریکس در حقیقت کاربرد علوم آمار، کامپیوتر و ریاضی در شیمی می‌باشد. با استفاده از آنالیز داده‌های



شکل ۱. برهم نهی طیف های نمونه افراد سالم و بیماران پولیپ



شکل ۲. شناسه جابجایی شیعیانی تغییر یافته با روش PCA در گروه افراد سالم و مبتلا به پولیپ

از شماره شناسه‌های متابولیتی، میزان جایه‌جایی شیمیایی به دست آمد و با به کارگیری سایت HMDB متابولیت‌های شناساگر تعیین شد که در جدول ۱ ارائه شده است.

جدول ۱. شناسایی متابولیتهای مهم تغییر یافته با استفاده از HMDB

شماره	
١	متابوليت
٢	-فنيل آلانين-L
٣	-ايزولوسين-L
٤	هيستيدين
٥	سيترولين
٦	-پالmitوئيل كارنيتين
٧	ايزومالتوز
٨	-فنيل آلانين-L
٩	گليسين
١	-1- متييل - هيستيدين

آنالیز اددها پس از گرفتن طیف NMR پلاسما افراد سالم و بیمار از دستگاه Bruker DRX-500NMR spectrometer در MHZ ۵۰۰/۱۳ آنالیز داده های اولیه به وسیله ProMetab MATLAB انجام شد که تحت نرم افزار (یک محیط محاسباتی تکنیکال به منظور محاسبات تحلیلی و عددی) نوشته شده است. این کد، طیف ^1H NMR خام را به یک فرمت آماده جهت آنالیز چند متغیر تبدیل می نماید. با استفاده از کد محاسباتی ProMetab، طیف ^1H NMR را به بخش های جابه جایی شیمیایی با پهنای تعیین شده تقسیم شدند و طیف های ناخواسته مانند آب باقی مانده در نمونه حذف گردیدند. از قابلیت های این کد، روش های مختلف نرمال سازی مانند تبدیلات عمومی لگاریتمی می باشد. در نهایت داده های فرآیند شده حاصل از کد محاسباتی ProMetab توسط نرم افزار های کاهاش دهنده حجم داده ها مانند PCA مورد آنالیز چند متغیر قرار گرفت. این فرایند به منظور ساخت مدل های طبقه بندی شده ضروری است [۱۱]. در این بررسی به منظور تعیین متابولیت های تاثیرگذار از پایگاه اطلاعات متابولوم انسانی (Human Metabolome) استفاده شد [۱۲]. همچنین به منظور شناسایی (Base Data) مهم ترین تغییرات چرخه های بیوشیمیایی در این مطالعه از پایگاه Metaboanalyst Data Base استفاده شد [۱۳].

شایع

با نرم افزار ProMetab متابولیت به دست آمد. شکل طیف نهایی حاصل از بر هم نهی طیف های مربوط به افراد سالم و بیماران پولیپ در شکل ۱ نمایش داده شده است. همچنین نمودارهای تفکیکی متابولیت های تغییر یافته در گروه افراد سالم و بیماران پولیپ در شکل ۲ ارائه شده است. اعدادی که در این نمودارها به دست آمده است در حقیقت همان شناسه های متابولیت های تغییر یافته است.

جدول ۲ مشاهده شده است. متابولیت‌های تاثیرگذار در شکل ۳ دیده می‌شود.

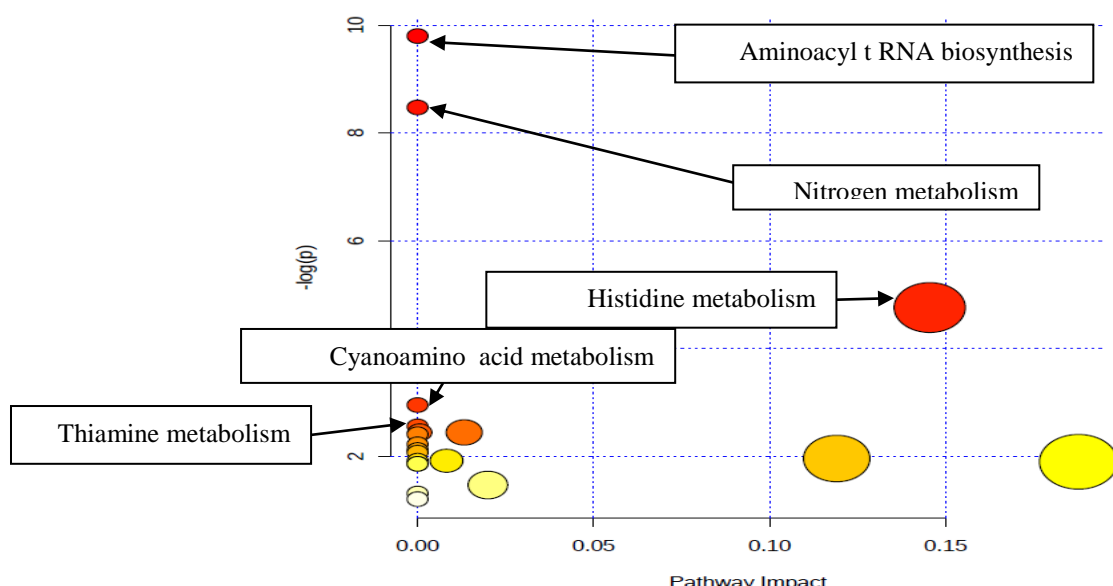
از نرم‌افزار Metaboanalyst Data Base تاثیرگذاری چرخه‌های متابولیتی با p value معنی‌دار به دست آمد که در

جدول ۲. نتایج آنالیز چرخه‌های متابولیکی پس از استفاده از Metaboanalyst Data Base

	Total	Expected	Hits	Raw p
Aminoacyl t- Aminoacyl t-RNA biosynthesis	۷۵	.۰/۲۵	۴	۵/۵۴E-05
Nitrogen metabolism	۲۹	.۰/۱۲	۳	۲/۸۰ E-۰۴
Histidine metabolism	۴۴	.۰/۱۵	۲	۸/۵۲E-03
Cyanoamino acid metabolism	۱۶	.۰/۵	۱	۵/۲۰E-02
Thiamine metabolism	۲۴	.۰/۸	۱	۷/۷۱E-02
Phenylalanine, tyrosine and tryptophan biosynthesis	۲۷	.۰/۹	۱	۸/۶۴E-02
Valine, leucine and isoleucine biosynthesis	۲۷	.۰/۹	۱	8/64E-02
beta Alanine metabolism	۲۸	.۰/۰۹	۱	8/95E-02
Methane metabolism	۲۴	.۰/۱۱	۱	1/08E-01
Glutathione metabolism	۲۸	.۰/۱۳	۱	۱/۲۶E-01
Valine, leucine and isoleucine degradation	۴۰	.۰/۱۳	۱	۱/۲۶E-01
Phenylalanine metabolism	۴۵	.۰/۱۵	۱	۱/۴۰E-01
Lysine degradation	۴۷	.۰/۱۶	۱	۱/۴۶E-01
Primary bile acid biosynthesis	۴۷	.۰/۱۶	۱	۱/۴۶E-01
Glycine, serine and threonine metabolism	۴۸	.۰/۱۶	۱	۱/۴۹E-01
Fatty acid metabolism	۵۰	.۰/۱۷	۱	۱/۵۵E-01
Starch and sucrose metabolism	۵۰	.۰/۱۷	۱	۱/۵۵E-01
Arginine and proline metabolism	۷۷	.۰/۲۶	۱	۲/۲۹E-01
Purine metabolism	۹۲	.۰/۳۱	۱	۲/۶۸E-01
Porphyrin and chlorophyll metabolism	۱۰۴	.۰/۳۵	۱	۲/۹۸E-01

Total: p مورد انتظار، عدد کل متابولیتهای چرخه‌ای متابولیتی

Hits: p خام محاسبه شده از آنالیز چند متغیره، Raw: p value تعداد متابولیتهای حاصله از اطلاعات داده شده به نرم افزار



شكل ۳. خلاصه آنالیز چرخه‌ها با روش enrichment analysis: دایره‌های بالاتر و تیره تر نزدیک به محور y، نشانگر تاثیر بیشتر آن چرخه است.

هستند که با یکدیگر و یا با سایر فاکتورهای تنظیمی سلول، کمپلکس‌های مختلفی را تشکیل می‌دهند. اخیراً نقش ARS در رشد سلول، افتراق، پردازش RNA، فعالیت سیتوکین‌ها و آنتی‌یوژنر مطالعه شده و مشخص گردیده که آن‌ها در بیماری‌های مختلف انسانی از جمله سرطان نقش دارند. بیان نادرست و موتسایون آن‌ها منجر به فرم‌های مختلف ARS می‌شود که عامل بیماری‌های مختلفی از جمله انواع تومورها می‌باشند. ARS در سرطان کولون، به‌طور غیر طبیعی افزایش و یا کاهش بیان را نشان داده است [۱۸، ۱۹].

چرخه با اهمیت دیگر، تغییر در متابولیسم هیستامین است. شواهد تجربی زیادی نشان داده شده است که هیستامین نقش مهمی در ایجاد سرطان دارند. اثر پیشنهادی بر این اساس است که هیستامین درجهات مختلفی از اتصال اختصاصی به فرم‌های مختلف DNA تخلیص شده را دارد و محققین احتمال می‌دهند که این تعامل بین هیستامین و DNA، شیوه مدولاسیون بیان ژنومیک DNA به‌وسیله تعدادی از پلی‌آمین‌ها است.

آنژیم هیستیدین دکربوکسیلاز، آنزیمی است که واکنش هیستیدین به هیستامین را به کمک ویتامین B6 کاتالیز می‌کند. فعالیت این آنزیم در سلول‌های سرطانی بالا است. موش‌های دارای فعالیت بالای این آنزیم، میزان بالاتری از سرطان‌زایی در سلول‌های پوست و کولون را نشان داده‌اند. مشاهده شده است که در سلول‌های تومور و پولیپ، فعالیت هیستیدین دکربوکسیلاز افزایش یافته است. هم‌چنین افزایش دفع متابولیت‌های هیستیدین در ادرار موش‌های مبتلا به تومور مشاهده شده است. اگر بیان آنزیم هیستیدین دکربوکسیلاز در سلول‌های سرطانی CT26 کولون موش با افزایش متیلاسیون پرومотор کاهش همراه باشد، رشد تومور سرکوب می‌شود [۱۷].

چرخه قابل توجه دیگر تیامین است. این ویتامین برای فعالیت ۴ آنزیم کلیدی در متابولیسم سلولی: پیرووات دهیدروژناز، α -کتوگلوترات دی‌هیدرژناز در سیکل تری‌کربوکسیلیک اسید، ترانس کتو‌لاز در راه پنتوز فسفات، کمپلکس ۶ کتو دی‌هیدروژناز زنجیره شاخدار در کاتابولیسم

بحث و نتیجه‌گیری

سرطان کولورکتال یکی از علل مرگ و میر در جهان است. ۹۵٪ این سرطان ناشی از پولیپ روده بزرگ است. این نوع بولیپ‌ها اغلب موارد بدون علامت بوده و تنها با انجام معاینه‌ها و آزمایش‌های دوره‌ای و منظم تشخیص داده می‌شوند. لذا اگر این سرطان در مرحله پولیپ یافت شود، قابل پیشگیری است. هم‌اکنون در امریکا تنها ۳۹٪ موارد این سرطان در مرحله اول تشخیص داده می‌شود که قابل درمان است. پس از تشخیص سرطان، میزان زنده ماندن ۵ ساله برای سرطان کولورکتال فقط ۶۳/۵٪ است. ولی اگر پولیپ‌های روده بزرگ سریع تشخیص داده شوند، درصد زنده ماندن به ۹۵٪ خواهد رسید. بنابراین تشخیص اولیه می‌تواند از هزینه پر بار درمان، مانند بستری شدن و جراحی بکاهد [۱۴، ۱۵].

متابونومیکس به مطالعه متابولیتی گفته می‌شود که در انتهای متابولیسم سلولی تولید می‌شوند و نشان می‌دهند که در حال حاضر در سلول چه اتفاقی صورت می‌گیرد. به‌طور مثال، سلول‌هایی که رشد سرطانی یا پولیپی دارند، نسبت به سلول‌های نرمال تغییر متابولیتی دارند و با مطالعه این تغییرات می‌توان پولیپ، سرطان و سایر بیماری‌های مزمن را تعیین کرد [۱۶].

در این مطالعه با یک روش غیر تهاجمی و ساده، بیومارکرهای متابولیتی حاصله را با استفاده از دستگاه طیف سنجی $^1\text{H}\text{NMR}$ ^۱ شناسائی نموده و هم‌چنین با استفاده از علم کمومتریکس نتایج حاصل از طیف $^1\text{H}\text{NMR}$ ^۱ را آنالیز نمودیم. مطابق شکل ۳، چرخه‌های متابولیسم آمینواسیل tRNA سنتتاز، متابولیسم هیستیدین، متابولیسم تیامین، متابولیسم نیتروژن و متابولیسم سیانوآمین از اهمیت ویژه‌ای برخوردار هستند.

اولین چرخه مورد توجه، متابولیسم آمینواسیل tRNA سنتتاز است. آنزیم‌های aminoacyl-tRNA synthetases با کاتالیز کردن اتصال اسیدهای آمینه به tRNAs مربوطه، اولین مرحله سنتز پروتئین را انجام می‌دهند. آن‌ها علاوه بر دومن‌های کاتالیتیک، حاوی دومن‌های دیگری

با تشکر از پرسنل آندوسکوپی بیمارستان امیراعلم و پرسنل و بخش شیمی دانشگاه صنعتی شریف ایران که در انجام این طرح تحقیقاتی ما را یاری نمودند.

منابع

- [1] Wong CK, Fedorak RN, Prosser CI, Stewart ME, van Zanten SV, Sadowski DC. The sensitivity and specificity of guaiac and immunochemical fecal occult blood tests for the detection of advanced colonic adenomas and cancer. *Int J Colorectal Dis* 2012; 27: 1657-1664.
- [2] Gorey KM, Luginaah IN, Bartfay E, Fung KY, Holowaty EJ, Wright FC, et al. Effects of socioeconomic status on colon cancer treatment accessibility and survival in Toronto, Ontario, and San Francisco, California 1996-2006. *Am J Public Health* 2011; 101: 112-119.
- [3] Weljie AM, Newton J, Mercier P, Carlson E, Slupsky CM. Targeted profiling: quantitative analysis of ^1H NMR metabolomics data. *Anal Chem* 2006; 78: 4430-4442.
- [4] Wishart DS. Quantitative metabolomics using NMR. *TrAC Trends Analy Chem* 2008; 27: 228-237.
- [5] Bolland ME, Stanley EG, Lindon JC, Nicholson JK, Holmes E. NMR-based metabonomic approaches for evaluating physiological influences on biofluid composition. *NMR Biomed* 2005; 18: 143-162.
- [6] Spratlin JL, Serkova NJ, Eckhardt SG. Clinical applications of metabolomics in oncology: a review. *Clin Cancer Res* 2009; 15: 431-440.
- [7] Madsen R, Lundstedt T, Trygg J. Chemometrics in metabolomics—a review in human disease diagnosis. *Anal Chim Acta* 2010; 659: 23-33.
- [8] Qiu Y, Cai G, Su M, Chen T, Liu Y, Xu Y, et al. Urinary metabonomic study on colorectal cancer. *J Proteome Res* 2010; 9: 1627-1634.
- [9] Cheng Y, Xie G, Chen T, Qiu Y, Zou X, Zheng M, et al. Distinct urinary metabolic profile of human colorectal cancer. *J Proteome Res* 2012; 11: 1354-1363.
- [10] Viant MR. Improved methods for the acquisition and interpretation of NMR metabolomic data. *Biochem Biophys Res Commun* 2003; 310: 943-948.
- [11] Wishart DS, Jewison T, Guo AC, Wilson M, Knox C, Liu Y, et al. HMDB 3.0--The human metabolome database in 2013. *Nucleic Acids Res* 2013; 41: D801-807.
- [12] Zamani Z, Arjmand M, Vahabi F, Eshaq Hosseini SM, Fazeli SM, Iravani A, et al. A metabolic study on colon cancer using $(1)\text{H}$ nuclear magnetic resonance spectroscopy. *Biochem Res Int* 2014; 2014: 348712.
- [13] Xia J, Mandal R, Sinelnikov IV, Broadhurst D, Wishart DS. MetaboAnalyst 2.0--a comprehensive server for metabolomic data analysis. *Nucleic Acids Res* 2012; 40: W127-133.
- [14] Mahdavinia M, Bishehsari F, Ansari R, Norouzei N, Khaleghinejad A, Hormazdi M, et al. Family history of colorectal cancer in Iran. *BMC Cancer* 2005; 5: 112.
- [15] Monleon D, Morales JM, Barrasa A, Lopez JA, Vazquez C, Celda B. Metabolite profiling of fecal water extracts from human colorectal cancer. *NMR Biomed* 2009; 22: 342-348.
- [16] Yang XD, Ai W, Asfaha S, Bhagat G, Friedman RA, Jin G, et al. Histamine deficiency promotes inflammation-associated carcinogenesis through reduced myeloid maturation and accumulation of CD11b+Ly6G+ immature myeloid cells. *Nat Med* 2011; 17: 87-95.
- اسیدهای آمینه نقش حیاتی دارد. اگر چه تیامین یک کوانزیم نیست، اما به طور داخل سلولی بفرم فعل دی فسفاتی، تیامین پیرو فسفات تبدیل می‌شود. این واکنش توسط آنزیم تیامین پیروفسفو کیناز ۱ صورت می‌گیرد [۲۰].
- دو ناقل تیامین، RFC1 و THTR2 هستند. نشان داده شده است که در بیماران مبتلا به سرطان پستان، کولون و معده در مقایسه با افراد نرمال، کاهش در بیان ناقل THTR2 وجود دارد که به علت هیپرمتیلاسیون و داستیلاسیون هیستون پرومотор THTR2 است. شواهد نشان می‌دهد که در سلول‌های سرطانی با آسیب میتوکندری در حالت هیپوکسی، عدم تعادل انواع اکسیژن فعل (ROS) به وجود می‌آید که افزایش ROS، می‌تواند منجر به آپوپتوز سلولی و نکروز شود. اما خصوصیت آنتی‌اکسیدانی تیامین و همچنین نقش در سنتز گلوتاتیون آن، می‌تواند سبب کاهش ROS می‌شود [۲۱].
- در مطالعه گذشته که بر روی سرطان کولون انجام شده است، تغییر در متابولیت‌هایی مانند اسیدتوروکولیک و اسید ۳-هیدروکسی بوتریک و همچنین ویتامین B6 حائز اهمیت بودند که به ترتیب در متابولیسم اسیدهای صفراء و متابولیسم نقش داشتند ولی تغییر در متابولیت‌ها و چرخه‌های متابولیسمی در پولیپ‌های روده، پیش‌زمینه سرطان کولون می‌باشد.
- لذا با استفاده از روش $^1\text{HNMR}$ و روش‌های کمومتریکس، می‌توان تغییر متابولیت‌ها و چرخه‌های متابولیتی تاثیرگذار در پولیپ را مشاهده نمود که در این مطالعه، تغییر در چرخه متابولیسم آمینواسیل tRNA سنتتاز، هیستامین، تیامین، نیتروژن و سیانو آمین قابل توجه می‌باشد. اگر این بررسی در آینده بر روی تعداد بیشتری از نمونه‌ها انجام شود، می‌توان توصیه نمود که از روش $^1\text{HNMR}$ به عنوان روشی غیر تهاجمی، پیش از انجام کولونوسکوپی و یا سیگموئیدوسکوپی بیماران استفاده نمود.

تشکر و قدردانی

- [20] Reidling JC, Said HM. Adaptive regulation of intestinal thiamin uptake: molecular mechanism using wild-type and transgenic mice carrying hTHTR-1 and -2 promoters. *Am J Physiol Gastrointest Liver Physiol* 2005; 288: G1127-1134.
- [21] Zastre JA, Sweet RL, Hanberry BS, Ye S. Linking vitamin B1 with cancer cell metabolism. *Cancer Metab* 2013; 1: 16.
- [17] Garcia-Caballero M, Neugebauer E, Campos R, Nunez de Castro I, Vara-Thorbeck C. Increased histidine decarboxylase (HDC) activity in human colorectal cancer: results of a study on ten patients. *Agents Actions* 1988; 23: 357-360.
- [18] Guo M, Yang XL, Schimmel P. New functions of aminoacyl-tRNA synthetases beyond translation. *Nat Rev Mol Cell Biol* 2010; 11: 668-674.
- [19] Kim S, You S, Hwang D. Aminoacyl-tRNA synthetases and tumorigenesis: more than housekeeping. *Nat Rev Cancer* 2011; 11: 708-718.

Study of colorectal polyps using ^1H Nuclear Magnetic Resonance spectroscopy

Sedigheh Sadeghi (M.L.D)¹, Ayda Iravani (M.Sc)¹, Mohammad Arjmand (Ph.D)¹, Farideh Vahabi (M.D)², Seyed Mahmood Eshaq Hosseini (M.D)³, Akbar Oghalayee(B.Sc)², Fatemeh Mirkhani (M.Sc)¹, Zahra Zamani (Ph.D)^{1*}

1 - Biochemistry Dept., Pasteur Institute of Iran, Tehran, Iran

2 - Biotechnology Dept., Pasteur Institute of Iran, Tehran, Iran

3 - Amir Alam Hospital, Tehran, Iran

(Received: 14 Jun 2014; Accepted: 11 Gan 2016)

Introduction: The patients with polyps and ulcerative colitis diagnosis are more susceptible to colorectal cancer. So far, the diagnosis of colorectal diseases has been dependent on invasive procedures, such as sigmoidoscopy and colonoscopy. However, some recent research has been initiated for early diagnosis of colon cancer by using ^1H nuclear magnetic resonance (^1H NMR) spectroscopy and chemometrics methods. In this study, spectrum results of patients and samples of normal subjects were compared.

Materials and Methods: Participants who referred for colonoscopy (n=40) filled a consent form. They had received liquid diets for last 72 hours. Blood samples were collected in heparinized tubes. Samples were collected from patients who were diagnosed with polyps and also normal subjects. The separated plasma samples were sent for ^1H NMR spectroscopy using CPMG Spin-echo methods. The samples were analyzed using ProMetab software, with performance of Principle Component Analysis. The different metabolites were identified by their chemical shifts.

Results: There were 1624 metabolites in each spectrum. Effective metabolites were detected using Human Metabolome Data Base and effective metabolic cycle were determined using metaboanalyst Data Base.

Conclusion: These findings indicated that the metabolism of amino acid tRNA synthase, histidine, cyanoamine and thiamine are the main differentiating metabolic cycles involved in the production of colorectal polyp.

Keywords: Colorectal Polyp, Colorectal Cancer, Spectroscopy, Chemometrics

* Corresponding author. Tel: +98 21 66402770

zamani@pasteur.ac.ir